

# OpenSSL 기반 RSA서버에 대한 Timing Attack 구현

홍정대<sup>0</sup> 박근수

서울대학교 전기, 컴퓨터공학부

{jdhong<sup>0</sup>, kpark}@theory.snu.ac.kr

## An implementation of the timing attack on OpenSSL-based RSAserver

Jeongdae Hong<sup>0</sup> Kunsoo Park

School of Computer Science &amp; Engineering, Seoul National University

1996년 P. Kocher에 의해 시차공격(Timing attack)이 제안된 후 일반적인 RSA 구현 시 시간차를 줄이기 위해 중국인의 나머지 정리와 Montgomery 알고리즘과 같은 다양한 방법들이 적용되어왔다. 2003년 D. Brumley 와 D. Boneh가 OpenSSL[2]에서 구현된 RSA 알고리즘을 분석하여 시차공격[3]이 가능함을 보였다. 본 논문은 이들의 방법을 OpenSSL을 기반으로 하는 서버를 대상으로 구현한 실험 결과를 보인다.

## 1 서론

시차공격은 부채널 공격(side-channel cryptanalysis)의 일종으로 암호 알고리즘의 수학적 논의를 배제하고 연산과정에서 필연적으로 발생하는 시간차이를 이용하여 암호가 구현된 장비나 시스템을 공격하는 방법이다.

Kocher는 RSA 암호화 및 복호화 과정에서 공통으로 적용되는 멱승연산에서 지수의 비트가 1일 때와 0일 때 연산시간이 다르다는 사실을 이용하여 비밀키를 찾아내는 방법을 제안 [1,4]하였고, Schindler는 중국인의 나머지 정리(Chinese Remainder Theorem)와 Montgomery 알고리즘[6] 등이 적용된 구현에서 시차공격 방법[5]으로 인수분해가 가능함을 보였다.

2003년 D. Brumley 와 D. Boneh는 RSA 구현에 중국인의 나머지 정리, Montgomery 알고리즘, Sliding windows 멱승연산, Karatsuba 곱셈 등이 적용된 OpenSSL을 분석해서 시차공격이 가능함을 보였다.

본 논문은 OpenSSL을 기반으로 하는 RSA서버를 공격자 컴퓨터 내부(interprocess)와 외부 컴퓨터(LAN)에 설치하고 이들의 방법을 사용하여 시차공격한 실험결과를 보인다.

## 2 OpenSSL에 구현된 RSA 분석

### 2.1 OpenSSL의 RSA 구현

RSA[7]는 암호화 및 복호화 과정에 동일한 모듈러 멱승연산을 실시한다.

$$m = c^d \bmod N$$

( $N=qp$  : RSA modulus,  $d$  : 비밀키,  $c$  : 암호문)

OpenSSL은 멱승연산에 중국인의 나머지 정리(이하 CRT)를 사용한다. 즉  $m = c^d \bmod N$ 를 계산하는데 먼저  $m_1 = c^{d1} \bmod p$  와  $m_2 = c^{d2} \bmod q$ 로 나누어 계산한 후  $m_1$ 과  $m_2$ 를 CRT방법으로 결합하여  $m$ 을 계산한다.  $c^{d1} \bmod p$  와  $c^{d2} \bmod q$  계산에는 동일한 연산이 적용되므로 모듈러 멱승연산은 이후  $g^d \bmod q$ 로 설명한다.

$g^d \bmod q$  계산은 Sliding windows 멱승연산[8] 방법을 사용하는데 단순한 square & multiply 알고리즘 ( $\log_2 d$  번의 제곱연산,  $\log_2 d/2$  번의 곱셈 연산 필요)과 달리  $d$ 를 windows크기를 기준으로 나눠 windows에 포함된 비트 1의 개수 만큼 제곱연산을 수행한 다음 미리 계산해둔 곱셈표에서 windows에 해당하는 값을 찾아 곱하는 방법이다. 이 방법을 사용하면  $g^d$ 가 곱해지는 횟수가 단순한 square & multiply 알고리즘에 비해

$$E[\# \text{ multiply by } g] \approx \log_2 d / 2^{w-1}(w+1)$$

( $d$  : 비밀키,  $w$  : windows size)

로 줄어든다. OpenSSL에서는 1024-비트 모듈러에 대한 windows 크기로 5를 사용한다.

Sliding windows 멱승연산도 매 단계에서 모듈러 곱셈을 수행하는데 이때 Montgomery 알고리즘을 적용한다. Montgomery 알고리즘은 컴퓨터에서의 모듈러 곱셈 연산에서 모듈러  $q$  대신  $R = 2^k$  ( $2^{k-1} \leq q < 2^k$ )을 사용하여 연산 속도를 높이는 방법이다.  $x * y \bmod q$ 를 계산하기 전  $x$ 와  $y$ 를 각각  $xR \bmod q$  와  $yR \bmod q$  형태로 변경하여  $xyR^2$ 를 계산한 후  $R^{-1}$ 를 곱해  $xyR^2 * R^{-1} = xyR \bmod q$ 를 구한다. 그리고 계산값이 모듈러  $q$ 보다 크면 추가로  $q$ 를 빼서 그 값이  $[0, q]$  구간에 있도록 한다. Schindler는  $g^d \bmod q$ 에서  $g$ 가  $q$ 의 배수에 가까워짐에 따라 Montgomery 알고리즘의 추가적인 펠셉의 횟수가 늘어나다가  $q$ 의 배수를 넘는 순간 급격히 줄어든다는 사실을 발견[5]하였다.

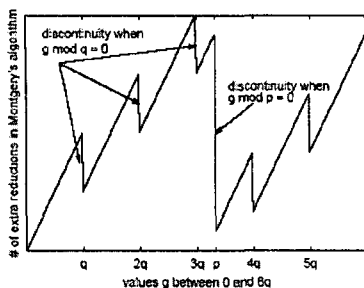


그림 1. g값에 따른 추가적인 펠센 개수 변화

OpenSSL은 RSA 연산에서 두 가지 곱셈연산을 사용하는데 곱해지는 두 수의 길이가 같으면 Karatsuba 알고리즘[9]을 사용하고 다르면 일반적인 곱셈을 사용한다. 비슷한 길이의 숫자를 곱하는데 일반적인 곱셈을 사용하면  $O(n^2)$ 의 시간이 소요되는데 비해, Karatsuba 방법을 사용하면  $O(n^{1.58})$ 의 시간이 걸려 보다 빠른 연산속도를 보인다.

## 2.2 RSA 연산의 시간차 분석

앞에서 살펴본 바와 같이 OpenSSL은 Montgomery 알고리즘과 Karatsuba 알고리즘에서 모듈러  $q$ 를 전후한 값에서 시간차가 발생한다. 하지만 두 알고리즘에 의한 시간차는 서로 상쇄된다.

$g$ 가  $q$ 에 가까워질수록 Montgomery 알고리즘의 추가적인 펠센의 횟수가 늘어났다가  $q$ 를 넘는 순간 급격히 줄어들기 때문에  $g < q$ 면  $g > q$  때 보다 연산 시간이 더 걸린다.

반면  $g$ 가  $q$ 에 거의 근접하면 곱셈연산으로 Karatsuba 알고리즘이 적용되다가  $g$ 가  $q$ 를 넘은 직후에는 일반적인 곱셈연산이 수행된다. 즉 곱셈연산에 의하면  $g < q$  때  $g > q$  보다 연산 시간이 덜 걸린다.

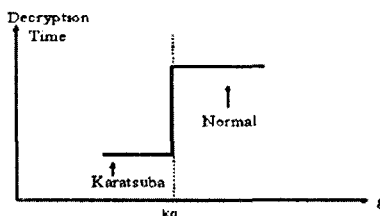


그림 2. 곱셈 연산에 따른 복호화 시간

## 3 Brumley & Boneh's 방법

Brumley & Boneh는 RSA 모듈러  $N$ 의 인수(factor)를 알면 비밀키  $d$ 를 알 수 있다는 사실[10]을 바탕으로  $g$ 를 인수  $q$ 에 근사(approximation)시켜 가는 방법을 사용한다. 인수  $q$ 의 최상위 비트부터 하위 비트로 근사 시키는데 인수  $q$ 의 절반까지 결정한 후에는 Coppersmith 알고리즘[11]을 적용하여 인

수 분해한다.

공격자는 먼저 인수  $q$ 의 최상위 2-3 비트를 추측하는데 가능한 모든 비트 조합을  $g$ 로 놓고 복호화 시간을 살펴본다. 시간이 많이 걸리는 두 수가 각각  $p$ 와  $q$ 인데 이중 첫 번째 것을  $q$ 로 놓고 이를 확장시켜 나간다.

(1) 인수  $q$ 의  $i-1$  번째 비트까지 찾았다면 새롭게 추측하는  $g$ 는  $i-1$  번째 비트까지는 인수  $q$ 와 같게 놓고 나머지 비트를 0이라고 가정한 후  $i$  번째 bit를 찾는다.

(2)  $g_{hi}$  를  $i-1$  번째 비트까지는  $g$ 와 같으면서  $i$  번째 비트가 1인 숫자로 놓는다. 실제 인수  $q$ 에서  $i$  번째 비트가 1 이면  $g < g_{hi} < q$ 이고, 0 이면  $g < q < g_{hi}$  이다.

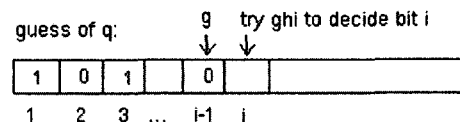


그림 3. i번째 비트 결정 과정

(3) 모듈러 역승연산 과정에 Montgomery 형태의 숫자를 일반적인 형태로 변경하는 연산( $u_g R = g$ ,  $u_{ghi} R = g_{hi}$ )이 수행되므로  $u_e = gR^e \bmod N$  과  $u_{ghi} = g_{hi}R^i \bmod N$  을 계산한다.

(4) 서버에게  $u_g$  와  $u_{ghi}$ 의 복호화를 요청해서 그 소요시간  $t_1 = \text{DecryptTime}(u_g)$  과  $t_2 = \text{DecryptTime}(u_{ghi})$ 을 측정한다.

(5)  $t_1$  과  $t_2$ 의 시간차  $\Delta = |t_1 - t_2|$  를 계산하여 그 차가 크면  $g < q < g_{hi}$  관계가 성립하므로  $q$ 의  $i$  번째 비트를 0 으로, 작으면  $g < g_{hi} < q$ 이므로 1로 결정한다.

## 4 실험 결과

### 4.1 실험 환경

실험에 사용된 운영체제는 windows 2000이고 프로세서는 Intel Pentium 4 2.4GHz, 주 기억장치는 1Gbyte인 하드웨어가 사용되었으며 OpenSSL은 시차공격에 대한 보안 패치가 되기 전 버전인 0.9.7을 사용하였고, RSA 키는 1024비트로 OpenSSL의 RSA\_generate\_key() 함수로 생성하였다. 네트워크 연결은 1Gb 3Com 스위치를 사용하였다. 또한 정밀한 시간 측정이 요구되므로 시간 측정에는 인텔에서 제공하는 RDTSC[12]를 사용하였다

### 4.2 실험 방법

Sliding windows에서 추측값  $g$ 의 펠센 횟수가 줄어든 것을 보상하기 위해 추측값에 1씩 더해가면서  $g + 1, g + 2, \dots, g + n$ 의 이웃하는 숫자를 만들고 이를 복호화시킨 시간을 더하여  $T_g = \sum \text{DecryptTime}(g + 1, g + 2, \dots, g + n)$  를 구한다. 또한 각각의 추측값에 대한 복호화 시간도 측정 횟수를 증가시킬수록 정확한 값이 되므로 하나의 추측값에 대한 복호화 시간은 최소 9 회 측정한 값의 평균으로 하였다.

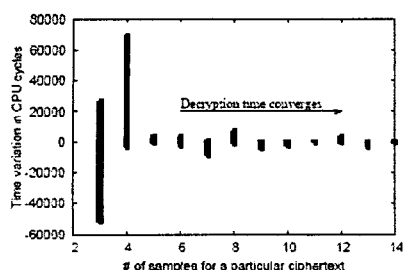


그림 4. 복호화 횟수에 따른 시간 변화

- (1) 단일 프로그램내에 OpenSSL기반 RSA서버와 공격자를 두고 인수  $q$ 를 찾았다.
- (2) 동일 컴퓨터에 서버 프로그램과 공격자 프로그램을 별도 동작(interprocess)시켜 인수  $q$ 를 찾았다.
- (3) 네트워크(LAN)로 연결된 두 대의 컴퓨터에 TCP서버와 공격자를 별도 동작시켜 인수  $q$ 를 찾았다.

#### 4.3 실험 결과

그림 5는 실험(1) 이웃 400일 때 인수  $q$ 의 3에서 256번째 비트까지 추측값에 따른 시간차를 나타내고 있으며

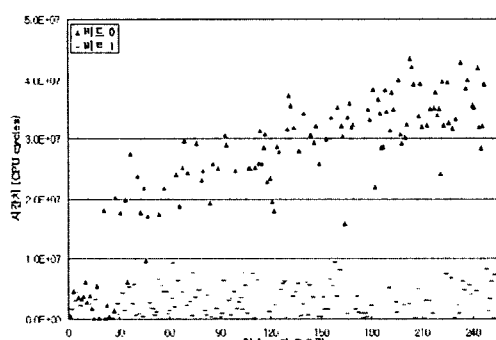
그림 5. 인수  $q$ 의 추측값에 따른 비트별 시간차

표 1은 인수  $q$ 의 129에서 161번째 비트에서 시간차에 대한 평균을 나타내고 있다. 각 환경에서 Brumley & Boneh의 방법이 성공적으로 적용되며 이웃하는 숫자의 개수가 많으면 비트 0과 1일 때의 시간차도 커진다는 사실을 확인하였다.

시간차 $\Delta$ (cycles)	실험 1	실험 2	실험 3	
이웃 400	비트 0	3.6E+ 7	4.5E + 7	7.0E + 6
	비트 1	3.6E+ 6	1.1E + 7	1.1E + 6
이웃 800	비트 0	2.6E+ 7	5.2E + 7	1.6E + 7
	비트 1	9.5E + 5	1.6E + 6	3.6E + 6

표 1. 이웃 400 / 800에서 비트에 따른 시간차

## 5 결론

OpenSSL을 기반으로 동작되는 RSA서버에 대하여 단일 프로그램, 동일 컴퓨터, 네트워크 환경에서 Brumley & Boneh의 방법을 사용하여 시차공격이 가능함을 보았다. 하지만 이들의 방법은 OpenSSL에서 2003년 3월 이후 제공하는 시차공격에 대한 패치(blinding)를 설치하거나 Montgomery 알고리즘에서 추가적인 블록이 없도록 설계된 환경에서는 사용할 수 없다. 그러나 시차공격을 고려하지 않고 RSA 구현에 OpenSSL과 유사한 알고리즘들을 사용한 시스템이나 소프트웨어에 대해서는 Brumley & Boneh의 방법이나 이와 유사한 시간차 분석에 의한 공격이 가능할 것으로 보인다.

## 6 참고 문헌

- [1] Paul Kocher. Timing attacks on implementations of differ-hellman, RSA, DSS, and other systems. *Advances in Cryptology*, pages 104–113, 1996.
- [2] OpenSSL Project. OpenSSL. <http://www.openssl.org>
- [3] David Brumley, Dan Boneh. Remote timing attacks are practical. *12th Usenix Security Symposium*, 2003
- [4] Jean-Francois et al. A practical implementation of the timing attack. In *CARDIS*, pages 167–182, 1998..
- [5] Werner Schindler. A timing attack against RSA with the Chinese remainder theorem. In *CHES 2000*, pages 109–124, 2000.
- [6] Peter Montgomery, Modular multiplication without trial division. *Mathematics of computation*, 44(170): 519–521, 1985.
- [7] R. Rivest, A. Shamir, L. Adleman. A method for obtaining digital signatures and public-key cryptosystems, *Communications of the ACM*, pages 120–126, 1978.
- [8] L. C. K. Hui and K.-Y. Lam. Fast square-and-multiply exponentiation for RSA. *Electronics Letters*, 30(17): 1396–1397, August 1994.
- [9] A. Karatsuba and Y. Ofman. Multiplication of Multidigit Numbers on Automata. *Soviet physics- Doklady*, 7, 595–596, 1963.
- [10] Dan Boneh. Twenty Years of Attacks on the RSA Cryptosystem. In *Notices of the American Mathematical Society (AMS)*, Vol. 46, No. 2, pp. 203–213, 1999
- [11] D. Coppersmith. Small solutions to polynomial equations, and low exponent RSA vulnerabilities. *Journal of Cryptology*, 10:233–260, 1997.
- [12] Intel. Using the RDTSC instruction for performance monitoring. Technical report, 1997.